

плотность ионного тока. Толщина слоя, распылённого за 1 с, равна v/ρ , где ρ — плотность мишени.

И. т. используется для выявления структуры поверхности, дефектов, деформированных участков. И. т. применяется также для создания многосторонней поверхности (см. Автоэлектронная эмиссия, Ионный проектор), для профилирования при послойном анализе состава разн. слоёв методами оже-спектроскопии, для избирательного удаления вещества через маски при создании элементов микроэлектроники (см. Микролитография).

Лит.: Распыление твердых тел ионной бомбардировкой, в. 2, пер. с англ., под ред. Р. Бериша, М., 1986.

Л. И. Праизицис, Ю. И. Дудонис.

ИОНО-ЗВУКОВЫЕ КОЛЕВАНИЯ — низкочастотные акустич. продольные волны, распространяющиеся в плазме с независящей от частоты скоростью

$$v_s = \sqrt{(Z\gamma_e kT_e + \gamma_i kT_i)/M_i},$$

где Z — заряд, M_i — масса ионов, T_e и T_i — темп-ры электронов и ионов, γ_e и γ_i — отношение уд. теплоёмкостей электронного и ионного газов.

И.-з. к. слабо затухают лишь в случае бесстолкновительной (частота колебаний много больше частоты столкновений) и неизотермической ($T_e \gg T_i$) плазмы. При выполнении этих условий инерция среды определяется ионами, а упругая возвращающая сила — давлением электронного газа. Если условие $T_e \gg T_i$ не выполнено (напр., $T_e \approx T_i$, изотермич. плазма), то волна не распространяется вследствие сильного Landau затухания.

Наличие магн. поля не оказывает влияния на распространение И.-з. к. вдоль него, однако искажает их в случае «косого» (под углом к полю) распространения, порождая два типа магнитозвуковых волн (ускоренные и замедленные). См. также ст. Волны в плазме, Плазма и др. при них.

Б. А. Трубников.

ИОНО-ИОНАЯ ЭМИССИЯ (вторичная ионная эмиссия) — испусжение ионов конденсированной средой при бомбардировке её ионами. В результате передачи частицам кинетич. энергии и импульса от первичных бомбардирующих ионов происходит распыление (см. Ионная бомбардировка). Ионизация распылённых частиц происходит в процессе или после вылета в результате электрического обмена (см. ниже). При И.-и. э. могут быть выбиты как отрицательные, так и положит. ионы, в основном и в возбуждённом состоянии. В пучке вторичных ионов присутствуют многозарядные ионы и ионы соединений (напр., при бомбардировке Al ионами Ag^+ в атмосфере O_2 вылетают ионы $Al_2O_3^+$, $Al_nO_m^+$). Кол-во многозарядных ионов растёт с энергией E_0 бомбардирующих ионов (напр., при бомбардировке W ионами Ag^+ с энергией $E_0 = 150$ кэВ оно достигает 10%). Наблюдаются также заряж. скопления из многих атомов (кластерные ионы), напр. W_{34}^+ ; число таких ионов, как правило, невелико.



Рис. 1. Выход вторичных ионов (в относительных единицах) из Si при бомбардировке ионами Ag^+ с энергией 4 кэВ в зависимости от давления p кислорода.

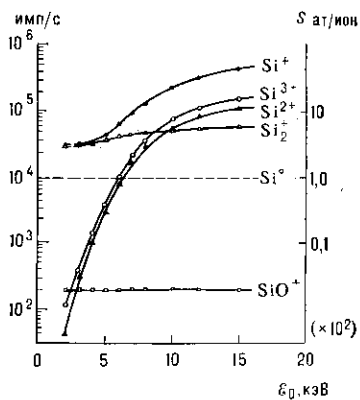
на поверхности эл.-отрицат. газа, напр. O_2 , повышает S^+ на неск. порядков (рис. 1) (для эмиссии многозарядных ионов и кластеров зависимость S^+ от давления O_2

более сложная); присутствие эл.- положит. газа (Cs) увеличивает эмиссию отрицат. ионов.

И.-и. э. зависит от энергии первичных ионов E_0 и начинается с нек-рой пороговой энергии порядка неск. десятков эВ. С увеличением E_0 коэф. S^+ возрастает. При бомбардировке Si ионами Ag^+ возрастание E_0 от 2 до 8 кэВ приводит к увеличению на порядок выхода однозарядных ионов материала мишени и к увеличению более чем на 3 порядка выхода многозарядных ионов (Si^{2+} , Si^{3+} ; рис. 2). В этом диапазоне энергий S^+ растёт быстрее, чем коэф. распыления S , достигает максимума и начинает падать с увеличением E_0 , как и S .

С возрастанием угла θ падения ионов (отсчитываемого от нормали к поверхности) S^+ увеличивается. Для

Рис. 2. Выход вторичных ионов из Si в зависимости от энергии E_0 бомбардирующими ионами Ag^+ .



моноцисталлич. мишени зависимость $S^+(\theta)$ немонотонна: эмиссия минимальна, когда направление падения ионов совпадает с направлением низкоиндексных кристаллографич. осей. Коэф. S^+ растёт с увеличением массы бомбардирующих ионов (для элементов, химически активных по отношению к веществу мишени, это правило нарушается). S^+ является немонотонно убывающей ф-цией ат. номера материала мишени (рис. 3). Коэф. S^+ увеличивается с уменьшением энергии ионизации атомов мишени и сложным образом зависит



от темп-ры мишени T . При невысоких темп-рах S^+ меняется за счёт разложения соединений, содержащих ионы материала мишени и очистки поверхности. Начиная с некоторых температур, когда поверхность уже очищена, S^+ не зависит от T . При температурах фазовых переходов S^+ испытывает существенные изменения.

Энергетич. спектр положит. вторичных ионов имеет максимум при энергиях E порядка неск. эВ и «хвост» в сторону больших энергий (рис. 4). Для кластерных ионов спектр сужается и сдвигается в сторону меньших энергий. Энергетич. спектр отрицат. ионов более широк и смешён в сторону больших энергий. Пространств. распределение вторичных ионов похоже на распределение распылённых нейтральных частиц и зависит гл. обр. от энергии и угла падения бомбардирующих ионов и структуры мишени. Для поликристаллов, бомбардируемых нормально падающими ионами с энергией порядка неск. кэВ, пространств. распределение близко к изотропному. При наклонном падении первичных ионов (с энергией неск. кэВ) И.-и. э. максимальна вблизи зеркального угла. Из монокристал-